

ادغام تصاویر فراطیفی با تصاویر دارای قدرت تفکیک مکانی بالا بر پایه سطوح مختلف

تبديل موجک گستته هار

حسن حسنی مقدم^۱، علی اصغر تراهی^۲، پرویز ضیاییان فیروزآبادی^۳

تاریخ پذیرش: ۱۳۹۹/۱۱/۵

تاریخ دریافت: ۱۳۹۹/۰۸/۲۱

صفحات: ۱۷ - ۷

چکیده

ادغام تصویر، فرآیند تلفیق اطلاعات مناسب از مجموعه‌ای تصاویر در یک تصویر است، به طوری که تصویر ادغام شده حاوی اطلاعات مفیدتر و کامل‌تر از هر یک داده‌های ورودی خواهد بود. هدف از ادغام تصاویر سنجش از دوری، ترکیب اطلاعات به دست آمده از سنجنده‌هایی با قدرت‌های تفکیک مکانی، طیفی و زمانی متفاوت به منظور به دست آوردن تصویری با جزئیات اطلاعاتی بیشتر نسبت به هر کدام از داده‌های انفرادی است. هدف از تحقیق حاضر، ارزیابی عملکرد تبدیل موجک گستته در ادغام تصاویر فراطیفی با تصاویر دارای قدرت تفکیک مکانی بالا است. برای این منظور، پنجره‌ای از تصاویر سنجنده‌های هایپریون، ALI^۱ و OrbView^۲، انتخاب گردید. ابتدا تصویر هایپریون، به لحاظ باندهای غیرقابل استفاده و نویزهای استریپ، تصحیح شد. از باند پانکروماتیک سنجنده ALI، به منظور تصحیح هندسی و ثبت تصویر هایپریون استفاده گردید. در ادامه تصویر هایپریون با استفاده از عملیات بازنمونه برداری به صورت تصویری با اندازه پیکسل ۱۰ متر تبدیل شده و با استفاده از الگوریتم Gram-Schmit^۳، با تصویر ALI، ادغام شد. دوباره با استفاده از تصویر OrbView^۲، بر روی تصویر ادغام شده، عملیات ثبت تصویر انجام گرفته سپس هر دو تصویر با استفاده از عملیات بازنمونه برداری به اندازه پیکسل ۴ متر تبدیل شدند. تصویر OrbView^۲، با استفاده از موجک گستته هار، در چهار سطح تجزیه شده و جهت ادغام مورد استفاده قرار گرفت. نتایج تحقیق نشان داد که با هر بار افزایش سطح تجزیه تصویر، صحت و دقت ادغام افزایش پیدا می‌کند.

واژگان کلیدی: تصاویر فراطیفی، ALI، موجک گستته، بازنمونه برداری، Gram-Schmit

۱- کارشناس ارشد سنجش از دور، دانشگاه خوارزمی تهران h.h.moghaddam@iran.ir

۲- استادیار گروه سنجش از دور و GIS، دانشگاه خوارزمی تهران atorahi@khu.ac.ir

۳- دانشیار گروه سنجش از دور و GIS دانشگاه خوارزمی تهران Zeainean@khu.ac.ir

۱- مقدمه

مجموعه داده فراتصیفی با داده دارای قدرت تفکیک مکانی بالا منجر به ایجاد تصویری خواهد شد که علاوه بر قدرت تفکیک مکانی بالا، قدرت تفکیک طیفی بالای نیز خواهد داشت. به طور کلی چهار سطح برای ادغام داده ها وجود دارد: سطح سیگنال، سطح پیکسل، سطح عارضه و سطح اتخاذ تصمیم (Vignesh et al, ۲۰۱۶). در سطح سیگنال، سیگنال های خام به دست آمده از سنجنده های مختلف با یکدیگر تلفیق می شوند. در سطح پیکسل، تصویر ادغام شده، از تلفیق پیکسل های منفرد هر یک از داده های ورودی به دست (Li et al, ۲۰۱۷& Anita and Moses, ۲۰۱۴) می آید. سطح عارضه نیازمند استخراج عوارض متناظر از داده های ورودی است (Nirmala and Vaidehi, ۲۰۱۳). در سطح اتخاذ تصمیم که به عنوان بالاترین سطح ادغام داده ها شناخته می شود، نتایج حاصل از الگوریتم های مختلف با یکدیگر ترکیب می شوند تا تصمیم نهایی ادغام حاصل آید (Nalini et al, ۲۰۱۶). الگوریتم ها و روش های متعددی جهت ادغام داده توسعه یافته است (Abdikan and Sanli, ۲۰۱۲ & Deng et al, ۲۰۱۱& Karasanassi et al, ۲۰۰۷). الگوریتم های PCA، HPF.DWT و Gram-Schmit از جمله الگوریتم هایی هستند که برای ادغام داده ها مورداستفاده قرار می گیرند. این الگوریتم ها می توانند به صورت انفرادی و یا در ترکیب با یکدیگر به کار روند. بسته به سطح ادغام موردنظر، انواع پیش پردازش هایی باید بر روی تصاویر اعمال گردد تا نتایج خروجی کمترین میزان اختلاف با تصاویر ورودی را داشته باشند. استفاده از سطح پیکسل در ادغام

ادغام تصویر، فرآیند تلفیق اطلاعات مناسب از مجموعه ای تصاویر در یک تصویر است، به طوری که تصویر ادغام شده حاوی اطلاعات مفیدتر و کامل تر از هر یک داده های ورودی خواهد بود (Mamatha et al, ۲۰۱۵). هدف از ادغام تصاویر سنجش از دوری، تلفیق اطلاعات به دست آمده از سنجنده هایی با قدرت های تفکیک مکانی، طیفی و زمانی متفاوت به منظور به دست آوردن تصویری با جزئیات اطلاعاتی بیشتر نسبت به هر کدام از داده های انفرادی است (Pohl and Van Pohl, ۲۰۱۶). در فرآیند ادغام تصاویر، تصویر خروجی، ترکیبی از ویژگی های مهم دو یا چند داده ورودی است (Sahu and Sahu, ۲۰۱۴). با افزایش حجم اطلاعات، نیاز برای ترکیب اطلاعات دو و یا چند تصویر افزایش پیدا کرده است. ادغام تصاویر حاصل از سنجنده های متفاوت موجب کاهش عدم قطعیت، افزایش اطلاعات خروجی، بهبود عملکرد سیستم و تجمعی اطلاعات می شود (Naveen et al, ۲۰۱۶). تصاویر فراتصیفی با وجود اینکه حاوی اطلاعات طیفی منحصر به فردی از پدیده های زمینی هستند، اغلب قدرت تفکیک مکانی پایینی دارند (Anshakov et al, ۲۰۱۵). سنجنده های با قدرت تفکیک مکانی بالا، در مناطقی با پیچیدگی زیاد به ویژه مناطق شهری موجب جداسازی بهتر عوارض می شوند. اما این سنجنده ها به دلیل قدرت تفکیک طیفی پایین (اغلب ۰.۳ تا ۰.۹ میکرومتر)، در جداسازی انواع عوارض و استخراج اطلاعات مربوط به پدیده های مختلف با چالش جدی روبرو هستند (Vivekan et al, ۲۰۱۴). ادغام دو

موجک موجب می شود تصویر خروجی دارای پایین و میزان PSNR بالا می باشد.

(Sahu and Sahu, ۲۰۱۴)، در تحقیقی به ارائه کاربرد ادغام داده ها در تصاویر پزشکی پرداخته اند. آن ها در این تحقیق از تبدیل موجک استفاده کرده و مزیت ها و معایب هر یک از موجک ها را مورد بررسی قرار داده اند.

(Ben-SHoshan and Yitzahaky, ۲۰۱۴) دو روش به منظور بهبود ادغام داده ها ارائه کردند. روش اول بر پایه اتخاذ تصمیم مبنی بر اینکه کدام یک از داده ها باید به تصویر سیاه و سفید به الگوریتم معرفی شود استوار بود. روش دوم که برای ادغام داده های چند رزولوشن مناسب بود، پیشنهاد می داد که کدام یک از زیرباند های داده های با فرکانس پایین را در هرم زیرباندها انتخاب کنیم. نتایج کار آن ها نشان داد که استفاده از روش پیشنهادی موجب کاهش ایجاد عوارض مصنوعی در تصویر می شود.

هدف از تحقیق حاضر، ادغام تصویر فراتریفی سنجنده های پریون با تصویر سنجنده OrbView^۳، بر پایه تبدیل موجک گسسته است.

۲- مواد و روش ها

۲-۱- داده های مورد استفاده

داده های مورد استفاده در این پژوهش، تصویر اخذ شده از سنجنده های هایپریون، ALI و OrbView³. از شهر واشنگتن است. این تصاویر در شکل های (۳-۱) ، نشان داده شده است.

داده ها نیازمند اعمال پیش پردازش های همچون هم مختصات کردن تصاویر، عملیات بازنمونه برداری و انواع تصحیحات رادیومتریک هست که هر چه میزان دقیقت در انجام این پیش پردازش ها بالاتر باشد به همان نسبت صحیح نتایج خروجی افزایش می یابد.

(Grochala and Kedzireski, ۲۰۱۷) در تحقیقی پیشنهاد دادند که به منظور نیل به قدرت تفکیک مکانی و طیفی توأم، داده پانکروماتیک را با استفاده از وزن دهی اصلاح و سپس با داده چند طیفی ادغام کنند. در این تحقیق آن ها از شش الگوریتم ادغام استفاده کردند. نتایج کار آن ها نشان داد که الگوریتم مؤلفه اصلی با RMSE کمتر از ۲۰ درصد از این نظر بهترین عملکرد را دارد و از نظر همبستگی با داده پانکروماتیک، الگوریتم Gram-Schmit با ۱۸ درصد بهترین عملکرد را دارد.

(Gambhir and Manchanda, ۲۰۱۶) یک روش جدید به منظور ادغام تصاویر پزشکی بر پایه تبدیل موجک ارائه کردند. برای این منظور آن ها از موجک دابیشیز استفاده کردند. آن ها ابتدا تصاویر ورودی را با استفاده از موجک دابیشیز تجزیه کرده، سپس ضرایب به دست آمده را با استفاده از متده همبستگی نرمال، ادغام کردند. در انتها تصویر ادغام شده با اعمال معکوس موجک بازسازی شد.

(Mishra and Bhatnagar, ۲۰۱۴) به منظور ادغام تصاویر پزشکی تحقیقی با عنوان ادغام تصاویر ام آر آی و سی تی اسکن بر پایه تبدیل موجک گسسته انجام داده اند. برای این منظور آن ها از تبدیل موجک گسسته دو بعدی استفاده کرده اند. نتایج کار آن ها نشان داد که ادغام تصاویر ام آر آی و سی تی اسکن با استفاده از تبدیل



شکل ۲- تصویر باند پانکروماتیک سنجنده ALI



شکل ۱- تصویر رنگی کاذب سنجنده هایپریون

ابتدا داده هایپریون به لحاظ Bad-Bands تصحیح گردید. تعداد ۱۵۸ باند از مجموعه داده هایپریون بهمنظور پردازش های بعدی انتخاب گردید. سپس داده هایپریون به لحاظ نوبیت های استریپ و شرایط انسفری مورد تصحیح قرار گرفت. بهمنظور تصحیح هندسی داده هایپریون از تصویر پانکروماتیک ALI، استفاده شد. تعداد ۳۰ نقطه به عنوان نقاط کنترل زمینی برداشت، و تصویر هایپریون با خطای زمین مرجع گردید. سپس عملیات بازنمونه برداری با استفاده از متند نزدیک ترین همسایه بر روی تصویر هایپریون اعمال شد تا اندازه پیکسل آن ۱۰ متر گردد.

۲-۲- تبدیل موجک گسسته

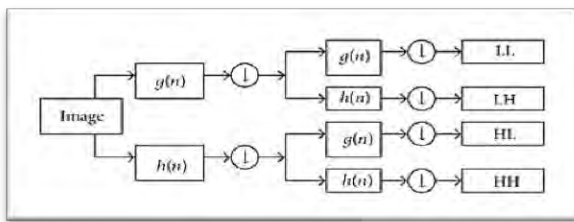
با توجه به نقش کامپیوترها در انجام محاسبات امروزی، لازم است ایده های پردازشی را در خور محاسبات کامپیوتر درآورد. تبدیل های پیوسته امکان کاربرد عملی در کامپیوتر را ندارند و نیاز به گسسته کردن آن ها



شکل ۳- تصویر باند پانکروماتیک سنجنده OrbView ۳

۲-۱-۱- پیش پردازش داده ها

نصف شده و در مقابل رزولوشن فرکانسی دو برابر می شود. این روند را می توان مجدداً بر روی نسخه پایین گذراشده اعمال نمود و در هر مرحله، با کاهش رزولوشن زمانی به میزان نصف مرحله قبل، رزولوشن فرکانسی را دو برابر نمود (صیادی، ۱۳۸۷). شکل (۴-۲) زیر نمایی از تبدیل موجک گسسته را نشان می دهد:



شکل ۴. نمایی از تبدیل موجک گسسته همراه با هر یک از زیر باندها

فیلتر گذاری بر روی تصویر به این صورت است:
 LL: اعمال فیلتر پایین گذرا بر روی سطر و ستون ها.
 LH: اعمال فیلتر پایین گذرا بر روی سطراها و فیلتر بالا گذرا بر روی ستون ها.
 HL: اعمال فیلتر بالا گذرا بر روی سطراها و پایین گذرا بر روی ستون ها.
 HH: اعمال فیلتر بالا گذرا بر روی سطر و ستون ها.

۱-۲-۲- موجک هار

نخستین تبدیل گسسته موجک توسط آلفرد هار، ریاضیدان هلندی، ارائه شده است و معمول ترین مجموعه موجود برای تبدیل گسسته موجک توسط ریاضیدان بلژیکی، اینگرید در سال ۱۹۸۸ فرمول بندی گردیده است. تبدیل گسسته موجک سیگنال x با عبور دادن آن از مجموعه ای از فیلترها، حاصل می شود. در تجزیه سطح اول، سیگنال به طور همزمان از یک

وجود دارد. به طور کلی، تبدیل موجک گسسته در مجموعه موجک ها، بدون داشتن محدودیت برای تجزیه سیگنال های نایستا، اجازه تجزیه و تحلیل زیر باندها را فراهم می آورد. یک تبدیل گسسته موجک این اجازه را می دهد که یک تقسیم سازگار با محور فرکانس داشته باشیم (Kour, ۲۰۱۵). معادله تبدیل موجک گسسته به صورت زیر می باشد:

$$\text{معادله (۱)} \quad \therefore \int_x(t) / j, k(t) dt$$

روندا پردازش با تبدیل موجک گسسته چنین آغاز می شود؛ در ابتدا سیگنال از یک فیلتر دیجیتال پایین گذرا نیم باند عبور می کند، درنتیجه این عمل فیلترینگ، تمام مؤلفه های فرکانسی که بیشتر از نصف بزرگ ترین فرکانس موجود در سیگنال باشند حذف می شوند (Harooni and Karimi, ۲۰۱۴). از آنجاکه بیشترین فرکانس موجود در سیگنال خروجی فیلتر برابر است با $\sigma/2$ رادیان، نیمی از نمونه ها قابل حذف اند. لذا با حذف یکی در میان نمونه ها، طول سیگنال نصف خواهد شد بدون اینکه اطلاعاتی را از دست داده باشیم. روند مشابهی نیز با استفاده از یک فیلتر بالا گذرا نیم باند انجام می پذیرد. درنتیجه در خروجی اولین مرحله از اعمال تبدیل موجک، دو نسخه، یکی بالا گذرا و دیگری پایین گذرا، با طول نصف شده از سیگنال اولیه به فرم زیر به دست - می آید:

$$\text{معادله (۲)} \quad y_{high} \boxed{k} \equiv \left| \begin{array}{c} x \\ n \end{array} \right|_n \boxed{g} \boxed{2k} \boxed{0} \boxed{n} - \quad y_{low} \boxed{k} \equiv \left| \begin{array}{c} x \\ n \end{array} \right|_n \boxed{h} \boxed{2k} \boxed{0} \boxed{n}$$

در این رابطه g و h فیلتر های اعمالی به تصویرند و تصویر ورودی می باشد. با این عمل، رزولوشن زمانی

$$\therefore(t) \equiv \begin{cases} 1 & 0 \leq t \leq 1/2, \\ 0 & otherwise. \end{cases} \quad \text{معادله (۳)}$$

و تابع مقیاس کننده نیز برابر است با:

$$I(t) \equiv \begin{cases} 1 & 0 \leq t \leq 1, \\ 0 & otherwise. \end{cases} \quad \text{معادله (۴)}$$

۳-۲- ادغام داده‌ها

داده هایپریون بازنمونه برداری شده به ۱۰ متر، و باند پانکروماتیک ALI، با استفاده از الگوریتم Gram-Schmit ادغام گردید. تصویر ادغام شده در این مرحله OrbView^۳ دوباره با استفاده از تصویر پانکروماتیک OrbView^۳ و با خطای ۰.۸۳ زمین مرجع شده و به ۴ متر بازنمونه برداری گردید. تصویر OrbView^۳، با استفاده از موجک گسسته هار در چهار سطح تجزیه گردید. در ادامه تصویر تجزیه شده در این مرحله با استفاده از الگوریتم Gram-Schmit، با داده هایپریون ۰۱۰ متر، ادغام گردید تا تصویر فراتصیفی باقدرت تفکیک ۴ متر به دست آید.

۳-۲- معیارهای ارزیابی تصاویر ادغام شده
به منظور ارزیابی کیفیت تصاویر ادغام شده از Correlation، Q، RMSE، روشهای DIV، Coefficient درروش RMSE استفاده گردید.

$$\sqrt{\frac{1}{l * m * n} \sum_{i=0}^M \sum_{j=0}^N |F(i, j) - M(i, j)|^2} \quad \text{معادله (۵)}$$

۱ اندازه تصویر ادغام شده را نشان می‌دهند. (M(i, j) اندازه پیکسل تصویر چند طیفی و

فیلتر بالاگذر و یک فیلتر پایین گذر عبور داده می‌شود. عینکه فیلتر باهم رابطه دارند و فیلتر آینه‌ای یکدیگر خوانده می‌شوند که با توجه به موجک پایه‌ی مادر به دست آمده‌اند.

سیگنال عبور کرده از فیلتر بالاگذر در اصطلاح، مجایله^(۴)، و سیگنال عبور کرده از فیلتر پایین گذر تقریب خوانده می‌شود. ازانجایی که هر یک از این دو خروجی، نیمی از محتوای فرکانسی سیگنال ورودی را داردند، فرکانس به نصف کاهش داده می‌شود. این تجزیه، به طور متناوب برای افزایش دقت فرکانسی انجام می‌شود، بطوریکه سیگنال تقریب در هر مرحله، از زوج فیلترهای بالا و پایین گذر عبور داده می‌شود و به دو سیگنال جزئیات و تقریب جدید تجزیه می‌گردد. این عمل یک درخت دودویی تشکیل می‌دهد که هر کدام از گره‌های آن، یک زیرفضا با خاصیت زمان-فرکانس محلی متفاوت را نمایندگی می‌کند. این درخت، بانک فیلتر خوانده می‌شود. برای اینکه یک سیگنال در تراز n با قابلیت تجزیه داشته باشد، باید سیگنال اصلی حداقل طولی برابر 2^n داشته باشد. مزیت استفاده از این روش در تجزیه سیگنال این است که تبدیل همزمان فرکانس-زمان انجام می‌شود و محدودیت‌های موجود در تبدیل فرکانسی فوریه وجود نخواهد داشت.

مشکل عمدۀ موجک هار، این است که پیوسته نیست درنتیجه مشتق‌پذیر نیز نیست. پایه موجک هار در حوزه زمان دارای ناپیوستگی است بنابراین موجک هار در حوزه زمان وضوح زمانی خوبی دارد اما در حوزه فرکانس چنین نیست (یونسیان و ولیخانی، ۱۳۹۴). موجک مادر هار به صورت زیر تعریف می‌شود:



شکل ۵- نتایج حاصل از ادغام تصویر هایپریون با باند پانکروماتیک ALI

جدول(۱)، نتایج حاصل از ارزیابی صحت و دقت ادغام تصویر هایپریون با باند پانکروماتیک ALI، را نشان می‌دهد.

جدول ۱- نتایج حاصل از ارزیابی صحت و دقت ادغام تصویر هایپریون با باند پانکروماتیک ALI

روش	نتیجه
DIV	۰.۰۳۰۸
CC	۰.۹۵۳
Q	۰.۹۶۰
RMSE	۱.۴۶۵

۲-۳- نتایج حاصل از ادغام تصویر ادغام شده هایپریون و OrbView^۳، با تصویر ALI

تصویر ادغام شده در مرحله(۱-۳)، به منظور ادغام با تصویر OrbView³، مورد استفاده قرار گرفت. این تصویر ابتدا با استفاده از تصویر OrbView³، و با برداشت ۳۰ نقطه با خطای ۰.۸۳ زمین مرجع گردید. هر دو تصویر در یک سیستم مختصات ثبت شده و در ادامه به منظور یکسان سازی اندازه پیکسل هر دو تصویر، عملیات بازنمونه برداری بر روی تصاویر اعمال گردید. هر دو تصویر با استفاده از روش نزدیک ترین همسایه،

$F^{+i,j}$ ، اندازه پیکسل تصویر ادغام شده در محل $+i,j$ است.

روش Q به صورت زیر تعریف می شود:

$$Q \equiv \frac{4\sigma_{fm} \overline{FM}}{\sigma_f^2 \sigma_m^2 + \overline{F^2} \cdot \overline{M^2}}, \quad \text{معادله (۶)}$$

به طوری که σ_{fm} کوواریانس میزان تصویر ادغام شده و تصویر چند طیفی است. $\sigma_f^2 \sigma_m^2$ به ترتیب واریانس تصویر چند طیفی و تصویر ادغام شده است. \overline{F} و \overline{M} نیز به ترتیب میانگین تصویر چند طیفی و تصویر ادغام شده است.

روش Correlation Coefficient، به صورت $+1$ و -1 است که $+1$ بیانگر شباهت بالا و -1 بیانگر عدم شباهت است.

روش DIV از تقسیم واریانس تصویر ادغام شده بر واریانس تصویر اصلی منهای یک به دست می آید.

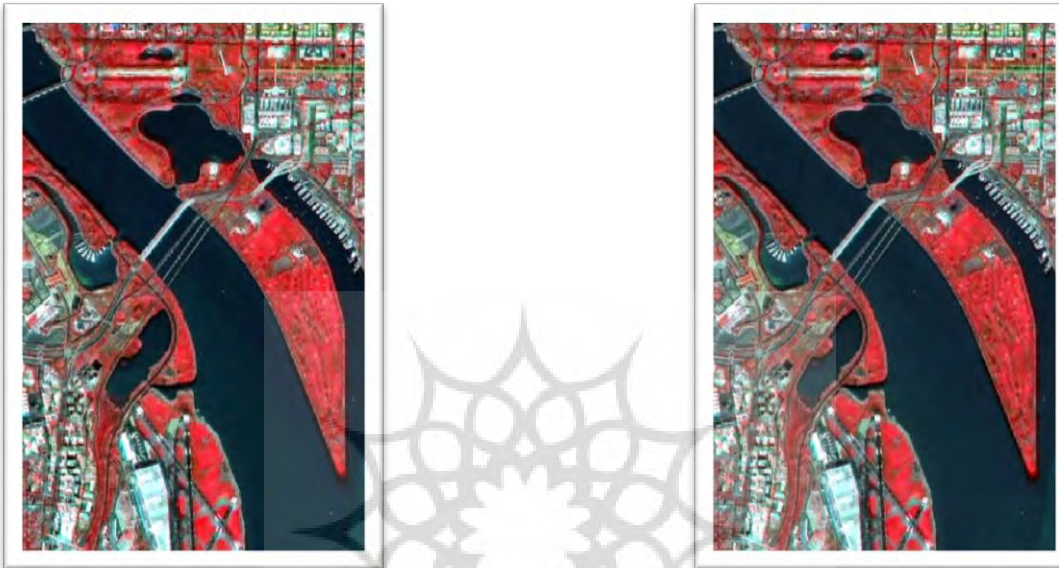
۳- نتایج و بحث

۱-۳- نتایج حاصل از ادغام داده هایپریون و ALI

بعد از اعمال پیش پردازش های لازم بر روی داده هایپریون، عملیات بازنمونه برداری با استفاده از روش نزدیک ترین همسایه و با اندازه پیکسل ۱۰ متر اعمال گردید. روش نزدیک ترین همسایه، از مقادیر رقومی نزدیک ترین پیکسل در تصویر اصلی به محل پیکسل جدید در تصویر تصحیح شده استفاده می کند. شکل (۵)، نتایج حاصل از ادغام تصویر هایپریون با تصویر Gram-پانکروماتیک ALI، با استفاده از الگوریتم Schmit را نشان می دهد.

از ادغام در هر سطح موجک گستته هار به صورت جدایانه مورد ارزیابی قرار گرفت تا سطح بهینه جهت تجزیه تصویر مشخص گردد. شکل (۶-۹)، نتایج حاصل از ادغام تصویر تجزیه شده OrbView^۳. با تصویر حاصل از مرحله (۳-۱)، را در چهار سطح نشان می‌دهد.

با اندازه پیکسل ۴ متر تبدیل گردیدند. تصویر بازنمونه برداری شده OrbView^۳، با استفاده از موجک گسسته هار تجزیه گردید. برای این منظور، ۴ سطح تجزیه موجک هار مورداستفاده قرارگرفته و در هر بار به عنوان ورودی به ادغام کننده معرفی گردید تا با تصویر حاصل از مرحله (۱-۳)، ادغام گردد. نتایج حاصل



شکل ۷- نتایج حاصل از ادغام تصویر در سطح دوم موجک هار

شکل ۶- نتایج حاصل از ادغام تصویر در سطح اول موجک هار



شکل ۹- نتایج حاصل از ادغام تصویر در سطح چهارم موجک هار

شکل ۸- نتایج حاصل از ادغام تصویر در سطح سوم موجک هار

باقدرت تفکیک رادیومتریکی ۸ بیت تبدیل گردیدند. تصویر OrbView^۳, با استفاده از موجک گستته هار، در چهار سطح تجزیه گردید تا میزان اطلاعات مکانی تصویر افزایش پیدا کند. در حقیقت با افزایش سطوح تجزیه موجک هار، اطلاعات مکانی تصویر به خوبی حفظ شده و در انجام عملیات ادغام موجب برجسته تر شدن و افزایش تباین عناصر مکانی تصویر می گردد. در هر بار ادغام تصاویر، تصویر تجزیه شده پانکروماتیک در سطوح مختلف هار، به عنوان ورودی به جهت ادغام با تصویر فراتریفی انتخاب می گردد. نتایج نشان می دهد که با هر بار افزایش سطح تجزیه تصویر پانکروماتیک، میزان صحت و دقت ادغام، افزایش پیدا می کند. به گونه ای که در سطح چهارم تجزیه موجک هار، تصویر خروجی به میزان ۰.۹۲ با تصاویر ورودی همبستگی دارد. همچنین میزان خطای RMSE، در این سطح تجزیه نیز کمتر از سطوح دیگر است. این امر به دلیل حفظ بیشتر اطلاعات مکانی تصویر پانکروماتیک در هر بار افزایش سطح تجزیه تصویر است.

۵- مراجع

یونسیان. داودو، و ولیخانی. محمد. (۱۳۹۴). تبدیل موجک و کاربرد آن در مهندسی راه آهن. تهران، انتشارات دانشگاه علم و صنعت ایران.

صیادی. امید. (۱۳۸۷). جزوه آشنایی مقدماتی با تبدیل موجک. دانشگاه صنعتی شریف، دانشکده مهندسی برق.

Mamatha, G., Lakshmaiah, M.V., and Sumalatha, V. (۲۰۱۵). “vvauuiing of T based mraje fuoom wtth hleee dfeeeent eeaampiing mehloed””. nmnnaional advanced research journal in science, engineering and technology, ۲(۲), ۴۰-۴۴.

Pohl, C., and Van Genderen, J. (۲۰۱۶). Remote sensing image fusion: A practical guide. Crc Press.

جدول (۲)، نتایج حاصل از ارزیابی تصاویر ادغام شده در سطوح مختلف تجزیه تصویر را نشان می دهد.

جدول ۲- نتایج حاصل از ارزیابی صحت و دقت ادغام تصویر

چهارم هار	سطح ها	در سطوح مختلف تجزیه تصویر		
		سطح سوم	سطح دوم	ادغام در سطح
DIV	۰.۰۴۹۸	۰.۰۴۵۱	۰.۰۴۳۶	۰.۰۴۰۶
CC	۰.۸۴۲	۰.۸۵۷	۰.۸۹۲	۰.۹۲۰
Q	۰.۸۲۶	۰.۸۲۹	۰.۸۴۷	۰.۸۵۴
RMSE	۴.۱۰۰	۳.۸۴۳	۳.۱۲۶	۲.۴۳۸

۴- نتیجه گیری

نتایج حاصل از ادغام دو مجموعه داده هایپریون و ALI، نشان می دهد که خروجی ادغام، همبستگی بالایی با تصویر چند طیفی ورودی داشته و همچنین از ورودی های ادغام نیز کمترین میزان خطأ و اعوجاج را دارد. به همین دلیل می توان گفت خروجی حاصل از ادغام تصاویر هایپریون و ALI، به خوبی ویژگی های هر دو داده ورودی را حفظ کرده و این ویژگی ها را در یک تصویر باقدرت تفکیک مکانی ۱۰ متر و قدرت تفکیک طیفی برابر با داده فراتریفی به نمایش گذاشته است. به منظور ادغام داده هایپریون و OrbView^۳، عملیات ثبت تصویر ادغام شده از هایپریون و ALI، دوباره با استفاده از تصویر OrbView^۳، انجام گرفت. این عمل سبب می شود که در هر مرحله از ادغام، تصویر چند طیفی با تصویر پانکروماتیک، هم مختصات شود. انجام عملیات ثبت تصویر چند مرحله ای، موجب افزایش صحت ادغام شده و میزان جابجایی عوارض را به حداقل می رساند. به منظور به حداقل رساندن اعوجاجات رنگی، دو تصویر می بایست از لحاظ رادیومتریکی یکسان باشند. به همین دلیل هر دو مجموعه داده، به داده های

- Abdikan, S., & Sanli, F. B. (٢٠١٢). “oo mpaoon . f different fusion algorithms in urban and agricultural areas unning aar ppaaar and aadaaa) and opical ppp)) mages”. Boletim de Ciências Geodésicas, ٨٨(٤), ٩٩٩-١١١.
- Kour, P. (٢٠١٥). Image processing using discrete wavelet transform. International journal of electronics & communication (IJC), ٧٧(١), ٣٣-٩٩.
- Deng, C., Li, H. N., & Han, J. (٢٠١١). oo mpaoon and Analysis of the Fusion Algorithms of Multi-spectral and Panchoomaiic ee moee Sennng mage”. Advances nn Computer Science, Intelligent System and Environment, ٩٩٩- ٧٣.
- Karathanassi, V., Kolokousis, P., and Ioannidou, S. (٢٠٠٧). “A compaooooo uudy on .uooon.mehlods.unning evauaiion nrdaaao””. International Journal of Remote Sensing, ٨٨(٠٠), ٢٣٠٩-٢٣٤١.
- Grochala, A., & Kedzierski, M. (٢٠١٧). “A mehlod of panchromatic image modification for satellite imagery data fuoom”. ee moee eennng, ٩(١), ١-١١.
- Gambhir, D., & Manchanda, M. (٢٠١٦). “A novel fusion rule for medical image fusion in complex wavelet nnnform domann”. nnnnational ournal o. minge and graphics, ٦٦(٤٤), ١٦٥٠-٢٢.
- Mishra, H. O. S., & Bhatnagar, S. (٢٠١٤). “MII and TT mages. fuoom baed on wavett nnnif. rm”. nnnnational Journal of Information and Computation Technology. ISSN, ٠٩٧٤-٢٢٣٩.
- Ben-Shoshan, Y., & Yitzhaky, Y. (٢٠١٤). “mipoovemenss of aage fuoom mehlod””. ournal of ll ecooacc migng, ٣٣(٢), ٠٢٣٠٢١-٠٢٣٠٢١.١-١١.
- Harooni, M., and karimi, M., (٢٠١٤). “Optimal level of discrete wavelet transform fusion at pixel level in satellite mages”. ٣rd confrence of new ideas in electrical engineering(٢٠١٤), Azad university, Esfahan, Iran.
- Sahu, V. and Sahu, D. (٢٠١٤). “ mmag· fuoom unning wave.. nnniform: A eev· ”. Global ٢٢·rnal of oo mōurr Science and Technology: Graphics & Vision, ٤٤(٥), ٠٠-٨٨.
- Naveen, S., Mani. V.R.S., and Arivazhagan. S. (٢٠١٧). “ooock baeed algottthm for hle ٩٢٢٩ of mutteeen· .٠٢ mages”., ٩٩deess t ourna· f scnniifcc eesea٩٩, ٤٤, ٩٩- ..
- Anshakov, G., Rashchupkin, A. V., and Zhuravel, Y. N. (٢٠١٥). “ yy pepppecllll lnd muttpppecllll ll .. ss-P data fusion for increase of hle rrinformaional connnn.. Computer Optics, ٩٩(١), ٧٧-٢٢.
- Vivekan. A.J., Thirumurugan. P., and Dhanarega. A. J. (٢٠١٤). “mimage fuoom and mpoovnrg csssiifaaion accuaacy: A uvvey”. nnnnational ournal of eng.. eennng sciences and research technology, ٣(١), ٦٦٦-٠٠.
- Vignesh, T., Thyagarajan, K. K., Murugan, D., Sakthivel, M., and Pushparaj, S. (٢٠١٦). “An lysss of hlehhodd. g versus image fusion techniques to change detection using eemoee eennng .. ages”. nnnnational. l ournal, ٤(٨).
- Li, S., Kang, X., Fang, L., Hu, J., and Yin, H. (٢٠١٧). “Pixel-vvv1 aage fuoom\A uu. ey of hle aaæe of .. e a.... information Fusion, .. , ٠٠-١١٢.
- Anita, S. J. N., & Moses, C. J. (٢٠١٣, Macch..) Survey . n pxxel vvel aage fuooo cchnique””. nn mmeegng Trends in Computing, Communication and Nanotechnology. International Conference on (pp. ١١١-١٤٥). IEEE.
- Nirmala, D. E., & Vaidehi, V. (٢٠١٤). acch.. “oo mpaoon of Pixel-vvvel and feauu. level aage fuoom mehlod””. nn Computing for Sustainable Global Development (INDIACo), ٢٠١٤ ٢nd International Conference on (pp. ٣٣٣-٣٤٨). IEEE.
- Nalini .M., Kolekar. B., & Shelkar. R.P. (٢٠١٦). “A review on wavelet transform based image fusion and csssiifaaion”. nnnnational ournal of appiacion or innovation in engineering and management, . (٣), ١١١-٥٥٥.

Fusion of Hyperspectral and High resolution imagery based on different level of HAAR DWT.

Abstract

Image fusion is the process of integrating the information from a set of images in an image, as the fused image contains more useful information than any input data. The aim of remotely sensed image fusion is integration of information that obtained from sensors with different spatial, spectral and temporal resolution in order to get an image with more detail than any individual data. In the fusion process, output image is a combination of important features of two or more input data. The aim of this study was to evaluate the performance of discrete wavelet transform in fusion of hyperspectral and high resolution images. For this purpose, a window of images of Hyperion, ALI and OrbView^r sensors was selected. First, the Hyperion image was corrected for unusable bands and strip noise. Panchromatic band of ALI sensor was used for geometric correction and registration of hyperion image. The hyperion image transformed into a $\cdot \cdot m$ pixel image using the sampling operation and fused with the ALI image using the Gram-Schmit algorithm. Using the OrbView^r image, the results was captured on the fused image, then both images were converted to ξ -pixel pixel size using the resampling operation. The OrbView^r image was decomposed into four levels using a HAAR wavelet and used for fusion procedure. The results showed that with increased level of image decomposition, the accuracy and precision of the integration increases.

Key words: Hyperspectral images, ALI, DWT, Resampling, Gram-Schmitt

پژوهشکاه علوم انسانی و مطالعات فرهنگی
پرستال جامع علوم انسانی